

论著

涎腺腺样囊性癌的CT、MRI表现及病理对照研究

1. 广州市第一人民医院放射科

2. 广州市第一人民医院病理科

(广东 广州 510180)

刘灶松¹ 叶 瑶² 魏新华¹吴 梅¹ 李丽琪¹

【摘要】目的 分析涎腺腺样囊性癌(adenoid cystic carcinoma, ACC)的CT与MRI表现及病理基础。方法 回顾性分析经病理证实的22例ACC的CT与MRI表现，并与病理结果进行对照研究。结果 22例患者中，发生于腮腺7例、上颌窦3例、舌3例、下颌下腺3例、鼻腔2例、筛窦2例、腭1例、气管1例，形态较规则14例，不规则形8例；直径10mm~53mm，平均约29mm；14例行CT检查，平扫5例为均匀等、稍低密度，9例为不均匀等低密度，增强扫描4例均匀强化，10例不均匀强化，内见小斑片状、筛孔状未强化区。8例行MRI检查，T1WI为均匀或不均匀等、低信号，T2WI主要为混杂高信号，6例内见小斑片状、筛孔状更高信号区，增强扫描2例均匀强化，6例不均匀强化，内见小斑片状、筛孔状未强化区。周围结构侵犯9例，淋巴结转移3例，远处转移1例。结论 ACC的病理基础决定其影像表现，CT及MRI增强扫描ACC易出现小斑片状、筛孔状未强化区域，并且CT与MRI检查对判断肿瘤侵犯范围起重要作用。

【关键词】 腺样囊性癌；磁共振成像；体层摄影，X线计算机

【中图分类号】 R781.7

【文献标识码】 A

DOI: 10.3969/j.issn.1672-5131.2018.03.008

通讯作者：吴 梅

The CT and MRI Findings and Pathological Basis of Adenoid Cystic Carcinoma of the Salivary Glands

LIU Zao-song, YE Yao, WEI Xin-hua, et al., Department of Radiology, Guangzhou First People's Hospital, Guangzhou 510180, Guangdong Province, China

[Abstract] **Objective** To investigate the CT and MRI findings and pathological basis of adenoid cystic carcinoma(ACC) of the salivary glands. **Methods** The CT or MRI findings of 22 ACC of the salivary glands confirmed by pathology were retrospectively analyzed, and were compared with pathological results. **Results** The tumors occurred in parotid gland (7 cases), maxillary sinus (3cases), sublingual (3cases), submandibular gland (3 cases), nasal sinus (2cases), palatum(2cases), trachea (1cases). 14 cases were in regular shape, 8 cases were in irregular shape. The tumor diameter ranged from 10mm to 53mm with a mean value of 29mm. Fourteen cases underwent CT examination, isodensity or low density were revealed on plain CT scan, 5 cases were with homogenous density and 9 cases were with heterogeneous density. On contrast-enhanced CT, homogenous enhancement were observed in 4 cases, heterogeneous enhancement with small patchy or cribriform non-enhanced region were observed in 10 cases. Eight cases underwent MRI examination, T1WI showed iso-or hypointense, T2WI showed heterogeneous hyperintense, small patchy or cribriform region of obvious hyperintense were observed in 6 cases. On contrast-enhanced MRI, homogenous enhancement were observed in 2 cases, heterogeneous enhancement with small patchy or cribriform non-enhanced region were observed in 6 cases. Five cases were found with adjacent structures invasion. Three cases were found with lymph node metastasis, 1 case were found with distant metastases. **Conclusion** The pathology of ACC determines the characteristic of imaging findings, small patchy or cribriform non-enhanced region is always revealed on CT and MRI scans. CT and MRI play an important role in assessing extent of tumor invasion.

[Key words] Adenoid Cystic Carcinoma; Magnetic Resonance Imaging; Pathology; Tomography, X-ray Computed

腺样囊性癌(adenoid cystic carcinoma, ACC)是涎腺少见的恶性肿瘤，约占头颈部恶性肿瘤的1%~2%，占涎腺肿瘤的10%。其生长较慢，临床症状隐匿，晚期易出现局部侵犯，也可出现远处转移^[1-2]。因本病发生率低，对其认识不足常误诊。本研究主要目的是观察ACC的CT和MRI征象，并与病理分型进行对照研究，旨在提高对本病的认识。

1 材料与方法

1.1 一般资料 收集我院2008年9月~2016年9月经病理证实的涎腺腺样囊性癌22例，男性14例，女性8例，年龄28~83岁，中位年龄为52岁，平均年龄53.8岁。7例发生于腮腺均表现为腮腺区质硬肿块，可伴有面神经瘫痪(n=3)；6例发生于鼻腔或鼻旁窦表现为鼻塞(n=4)，面部肿胀、麻木(n=3)，鼻出血(n=3)，眼溢泪(n=1)；4例发生于口腔表现为口咽部不适(n=3)，舌根部肿块(n=2)，颜面麻木感(n=1)；3例发生于下颌下腺均表现为下颌部肿块，可伴有舌根部疼痛(n=1)，面部麻木感(n=1)；1例发生于支气管表现为咳嗽、咳痰。临床出现症状至就诊时间为2个月至4年，平均1.5年。

1.2 检查方法 14例行CT检查，9例采用东芝Aquilion One 320

排容积CT扫描，扫描参数：管电压120kV，自动管电流技术，层厚0.5mm，层间距0.5mm，矩阵256×256。5例采用东芝Aquilion 16排螺旋CT扫描，扫描参数：管电压120kV，管电流200mA，层厚0.5mm，层间距0.5mm，矩阵256×256。所有病例行增强扫描，采用非离子型对比剂优维显(370mgI/mL)，剂量为65 mL。8例患者行MRI检查，采用Philips 1.5T超导型MR扫描仪，扫描序列：SE T1WI (TR 450~650ms, TE 15ms)、TSE T2WI (TR3600ms, TE 100ms)，轴位、冠状位T1WI成像，冠状位T2WI压脂，层厚5mm，层间距0.5mm；MRI增强扫描经肘静脉推注对比剂钆喷替酸葡甲胺(D-d-DTPA)，剂量0.2mmol/kg。获取图像后传入PACS工作站，由两名有经验的影像诊断医生对影像图像进行观察及分析，采用双盲法，当两人意见不一致时经讨论获得共识诊断。

2 结 果

2.1 病变部位、形态及大小

发生于腮腺7例，上颌窦3例，舌3例，下颌下腺3例，鼻腔2例，筛窦2例，腭1例，气管1例。表现为较规则软组织肿块14例(图1~5)，主要发生于腮腺、舌、鄂及气管；表现为不规则软组织肿块8例(图6~9)，均发生于下颌下腺、鼻腔、副鼻窦。肿块直径10mm~53mm，平均直径约29mm，其中直径小于25mm者13例，7例发生于腮腺者直径均小于25mm。

2.2 CT及MRI表现 14例行CT检查，平扫5例为均匀等或稍低密度(图1~2)，9例为不均匀等、低密度，内见小班片状、筛孔状低密度区；增强扫描6例轻度强，4例中度强化，4例明显强化；4例

均匀强化，10例不均匀强化，内见小班片状、筛孔状低密度无强化区，其中2例CT平扫为均匀密度，而增强扫描为不均匀强化。8例行MRI检查，相对于肌肉信号，4例T1WI为均匀等或低信号，4例T1WI信号不均匀，内见更低信号区(图4、7)；T2WI主要为混杂高信号，6例内见小班片状、筛孔状更高信号区(图3、6)；MRI增强扫描2例均匀强化，6例不均匀强化，内见小班片状、筛孔状未强化区(图5、8)。

2.3 肿瘤侵犯及转移情况

边界清楚10例，边界不清12例。13例未侵犯周围结构，其中7例发生于腮腺均未侵犯周围结构；9例侵犯周围结构，其中5例侵犯神经，5例侵犯邻近骨质。3例发生颈部淋巴结转移(2例原发灶位于下颌下腺，1例位于舌)；1例双肺及骨转移。发生淋巴结或远处转移者原发肿瘤直径均大于35mm。

2.4 病理结果 肉眼见肿瘤呈灰白色，无包膜。镜下见瘤

细胞似基底细胞，大小一致，圆形、卵圆形，核深染；瘤细胞可排列成小管状、筛状和实性团状结构，管状结构由内层的导管上皮和外层的肌上皮构成，筛状结构其孔内有粘多糖充填，实性结构为肿瘤细胞小，基底样，胞质少。免疫组织化学：CK++、CD117+、P63+、Ki-67+(1%~40%)、SMA+、S100+、CEA-。根据1991年WHO涎腺组织学分类标准，本组病理类型为筛孔型10例(图9)，管状型8例，实体型4例。不同病理类型ACC影像征象见表1。

3 讨 论

3.1 概述 ACC早期称为圆柱瘤，起源于腺体导管或肌上皮细胞，主要发生于大涎腺及小涎腺，其中大涎腺以腮腺常见，小涎腺则广泛分布在腭、鼻腔、鼻窦、舌、气管等。以前认为ACC好发于小涎腺，最近文献报道腮

表1 不同病理类型ACC影像征象

| 病理类型 | 管状型 | 筛孔型 | 实体型 |
|-----------|-----|-----|-----|
| 总数 | 8 | 10 | 4 |
| CT平扫/T2WI | | | |
| 均匀 | 6 | 2 | 0 |
| 不均匀 | 2 | 8 | 4 |
| 强化方式 | | | |
| 均匀 | 4 | 2 | 0 |
| 不均匀 | 4 | 8 | 4 |
| 大小 | | | |
| <2.5cm | 7 | 5 | 1 |
| ≥2.5cm | 1 | 5 | 3 |
| 边界 | | | |
| 清楚 | 5 | 5 | 0 |
| 不清楚 | 3 | 5 | 4 |
| 形态 | | | |
| 规则 | 7 | 6 | 1 |
| 不规则 | 1 | 4 | 3 |
| 周围侵犯 | | | |
| 无 | 7 | 6 | 0 |
| 有 | 1 | 4 | 4 |
| 转移 | | | |
| 无 | 8 | 8 | 2 |
| 有 | 0 | 2 | 2 |

腺最好发^[3-4]，本研究亦以腮腺最多见，小涎腺以副鼻窦及好发，与文献报道一致^[4]。ACC主要发生于成年人，好发于40~60岁，中位年龄为51岁。关于男女发病比例报道不一，国外文献报道该病女性多见^[3-4]，国内也有文献报道男性好发^[5-6]，本组病例以男性多见。ACC临床症状缺乏特异性，根据发病部位不同临床表现不同，发生于鼻腔、鼻旁窦者多表现为鼻塞、肿胀及面部疼痛等，发生于口咽部者多表现为口咽部不适、颜面麻木感等，发生于下颌下腺、腮腺者多表现为局部肿块、肿痛、颌面部麻木感等；ACC生长缓慢，从出现症状到就诊间隔时间长，平均约1~3年。

3.2 病理基础

ACC病理组织学分为管状型、筛孔型和实体型，筛孔型最常见，实体型最少

见^[5, 7]。管状型可见两层细胞组成的管状结构，内层为上皮细胞，外层为肌上皮细胞；筛孔型为簇状、巢状肿瘤细胞，内见孔状、筛网状粘液样物或透明样物；实体型为肿瘤细胞排列呈巢状，内含大的基底细胞，细胞多形性，有丝分裂普遍，只有少量小管或筛孔可见；这三型细胞密度依次增加，预后逐步变差^[5, 7]。

3.3 影像表现

ACC影像表现根据其病理类型、病变部位不同而有所不同。Liu XW等^[5]根据ACC的MRI信号特点分为两种类型：一类为较均质信号，T1WI为等信号，T2WI为均匀稍高信号；一类为不均质信号，内见斑片状坏死区或条状分隔，增强扫描强化不均匀。本研究发现部分ACC CT平扫为等密度或T1WI为等信号，其增强扫描可表现为不均匀强化，

因此作者根据ACC的CT及MRI强化特点将其分为两种类型：一类为均质型，CT及MRI增强扫描为均匀强化，CT平扫为均匀等或稍低密度，T1WI为等低信号，T2WI为均匀高信号，本组仅6例为该类型，以管状型多见；另一类为非均质型，增强扫描为不均匀强化，内见小斑片状、筛孔状未强化区，CT平扫主要为不均匀等、低密度，内见小斑片状、筛孔状低密度区，低密度区域少并散在，少数CT平扫可为均匀等密度，T1WI为不均匀或均匀等、低密度，T2WI为混杂高信号，内见斑片状、筛孔状更高信号区域，该型多见，本组16例为此类型，三种病理类型都可见。Liu XW^[5]研究发现所有的管状型均为均质型，本研究发现50%的管状型为均质型，可能是因为本研究是增强扫描后分类，对不均质显示更敏感；但两组研究都发现所有实体型均为非均质型。此外，本研究发现不同病理类型，肿瘤的大小、形态及边界也会有所不同，管状型肿瘤体积相对较小，多数小于25mm，形态较规则，很少出现周围浸润及转移；当肿瘤体积较大，形态不规则，出现周围浸润甚至转移者提示为筛孔型及实体型。本研究还发现，不同的发病部位肿瘤形态有所不同，发生于腮腺者，肿瘤形态较规则，并且体积较小，本组腮腺ACC均小于25mm；发生于鼻腔、副鼻窦者，形态多不规则，并具有向各腔隙生长趋势，可能是腮腺位置较表浅，肿瘤多能早期发现，而鼻腔、副鼻窦为空腔结构，且位置深，肿瘤早期生长缺乏限制并不易发现有关。

ACC病理基础决定其影像表现，既往研究均发现大部分ACC易出大小不等的囊变区域，CT表

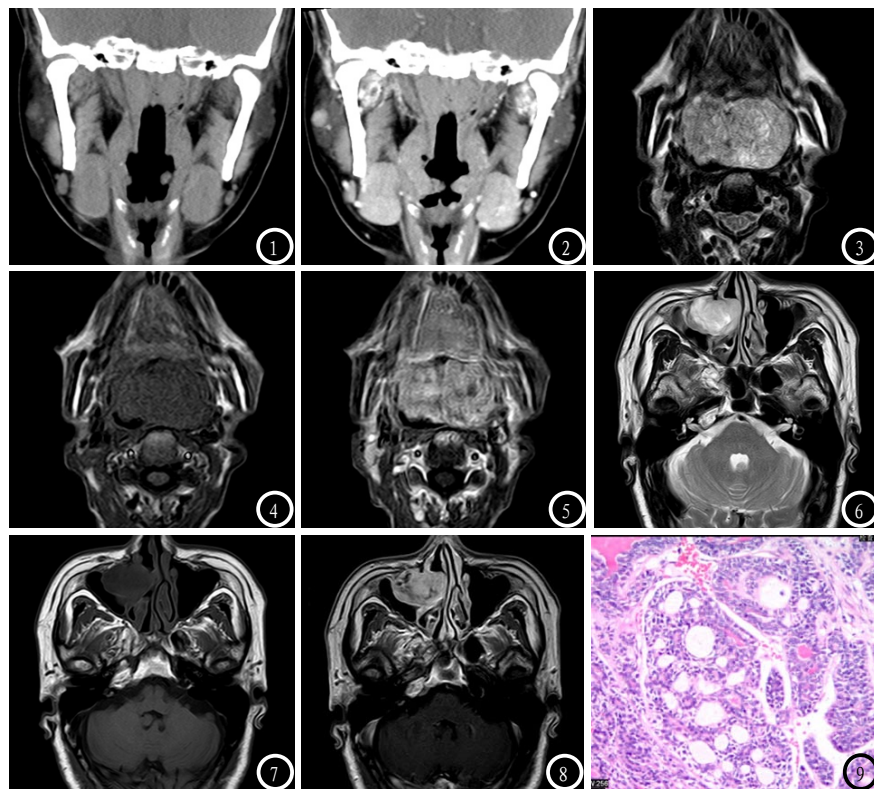


图1-2 女，46岁，右侧腮腺ACC，管状型。图1 冠状位CT平扫示右侧腮腺类圆形等密度结节，密度均匀。图2 冠状位CT增强扫描示肿瘤明显均匀强化，边界清楚。图3-5 男，76岁，舌根部ACC，实体型。图3 轴位T2WI示舌根部混杂高信号肿块，内见散在筛孔状更高信号区；图4 轴位T1WI示肿瘤呈稍低信号；图5 轴位增强T1WI示肿瘤呈不均匀强化，内见筛孔状未强化区域，对应T2WI为更高信号区域。图6-9 男，68岁，右侧鼻腔ACC，筛孔型。图6 轴位T2WI示右侧鼻腔混杂高信号肿块，内见散在小斑片状更高信号区，鼻甲、上颌窦内侧壁破坏，肿块突入右侧上颌窦；图7 轴位T1WI示肿瘤呈不均匀低信号；图8 轴位T1WI增强扫描示肿瘤呈不均匀强化，内见小斑片状未强化区域，对应T2WI为更高信号区域。图9 镜下见瘤细胞似基底细胞，大小一致，圆形、卵圆形，核深染；瘤细胞可排列成小管状、筛状和实性团状结构（HE，×200）。

现为低密度, T2WI表现混杂高信号, 内含更高信号区, 呈筛孔状改变, 增强扫描显示更佳^[1,5-9], 此征象与ACC肿瘤细胞密度不一并内含囊状组织有关, T2WI等或稍高信号区域, 增强扫描出现强化, 病理上为肿瘤细胞较密集区域, T2WI更高信号区域, 增强扫描不强化, 病理上为细胞稀疏区或囊状组织区, 本研究发现与既往研究一致。

ACC有沿神经生长的倾向, 发生率约20%~80%^[1,8], 发生神经浸润影响病人的治疗方案及预后。CT与MRI对判断肿瘤对神经侵犯的都非常重要, 但MRI更敏感, MRI表现为受累神经增粗及异常强化, 相应神经孔道的扩大, 开口处脂肪间隙消失; CT能检查出神经增粗导致的相应神经孔的骨质破坏, 但这是其晚期征象^[1,8]。本组病例仅5例影像检查发现神经浸润征象, 可能是本组多数病人行CT检查, 导致早期神经浸润检出率低所致。

ACC较少发生淋巴结转移, 发生率约6%~15%^[10], 较其他头颈部恶性肿瘤发生率低, 发生转移者原发灶多位下颌下腺或舌, 而ACC好发于腮腺及副鼻窦, 这两部位ACC都极少发生淋巴结转移, 本研究3例发生淋巴结转移, 2例原发灶位于下颌下腺, 1例位于舌, 与文献报道一致。晚期可远处转

移, 以肺及骨转移多见。本研究发现所有发生转移者原发肿瘤体积较大, 并且形态不规则, 密度不均匀, 均为筛孔型与实体型, 这与该两种类型恶性程度较高相关。

综上所述, ACC生长较缓慢, 易向周围浸润, 具有嗜神经生长的倾向, ACC的病理基础决定其CT及MRI表现, CT及MRI增强扫描ACC易出现“筛孔状”未强化区域, 并且CT与MRI检查对判断肿瘤侵犯范围起重要作用, 并且对肿瘤的病理类型及预后有一定提示作用。

参考文献

- [1] Shimamoto H, Chindasombatjaroen J, Kakimoto N, et al. Perineural spread of adenoid cystic carcinoma in the oral and maxillofacial regions: evaluation with contrast-enhanced CT and MRI [J]. Dentomaxillofac Radioi, 2012, 41(2): 143-151.
- [2] 陈瑞楠, 郑汉朋, 许崇永, 等. 鼻腔鼻窦腺样囊性癌CT和MRI诊断 [J]. 医学影像学杂志, 2016, 2(26): 214-217.
- [3] Meyers M, Granger B, Herman P, et al. Head and neck adenoid cystic carcinoma: A prospective multicenter REFCOR study of 95 cases [J]. Eur Ann Otorhinolaryngol Head Neck Dis, 2016, 133(1): 13-17.
- [4] Ali S, Yeo JC, Magos T, et al. Clinical outcomes of adenoid cystic carcinoma of the head and neck: a single institution 20-year experience [J]. J Laryngoltol, 2016, 130(7): 680-685.
- [5] Liu XW, Xie CM, Li H, et al. Nasopharyngeal adenoid cystic carcinoma: magnetic resonance imaging features in ten cases [J]. Chin J Cancer, 2012, 31(1): 19-28.
- [6] 金志发, 龙晚生, 胡茂清, 等. 头颈部腺样囊性癌的CT、MRI诊断 [J]. 医学影像学杂志, 2012, 10(22): 1602-1604.
- [7] Kato H, Kanematsu M, Sakurai K, et al. Adenoid cystic carcinoma of the maxillary sinus: CT and MR imaging findings [J]. Jpn J Radiol, 2013, 31(11): 744-749.
- [8] 王新艳, 郝晖, 吴建兴, 等. 鼻腔鼻窦腺样囊性癌扩散加权成像特征及其诊断肿瘤浸润神经价值 [J]. 中国医学影像技术, 2014, 7(30): 974-977.
- [9] 邵长征, 李洋. MRI及动态增强扫描对鼻腔、硬腭、副鼻窦腺样囊性癌的诊断价值 [J]. 中国中西医结合影像学杂志, 2016, 2(14): 186-189.
- [10] Shum JW, Chatzistefanou I, Qaisi M, et al. Adenoid cystic carcinoma of the minor salivary glands: a retrospective series of 29 cases and review of the literature [J]. Oral Surg Oral Med Oral Pathol Oral Radioi, 2016, 121(3): 210-214.

(本文编辑: 谢婷婷)

【收稿日期】 2017-06-22